

مقایسه عملکرد مدل‌های هیدرولیکی مختلف و ارائه مدل ترکیبی BMA به منظور شبیه‌سازی حرکت آب در خاک

فرید فیض‌اله پور^۱، سینا بشارت^۲، افشین خورسند^{۳*}

۱. دانشجوی دکتری آبیاری و زهکشی، دانشگاه ارومیه

۲. استادیار گروه آبیاری و زهکشی، دانشگاه ارومیه

۳. دانشجوی دکتری آبیاری و زهکشی، دانشگاه ارومیه

(تاریخ دریافت: ۱۳۹۵/۶/۳ - تاریخ بازنگری: ۱۳۹۶/۵/۲۳ - تاریخ پذیرش: ۱۳۹۶/۵/۲۹)

چکیده

تاکنون مدل‌های هیدرولیکی مختلفی برای تعیین هدایت هیدرولیکی غیراشباع در خاک ارائه شده است، اما در تحقیقات اندکی توانایی این مدل‌ها در شبیه‌سازی نحوه حرکت آب در خاک ارزیابی شده است. لذا در مطالعه حاضر، عملکرد ۵ مدل هیدرولیکی مختلف ارائه شده در مدل HYDRUS-2D، از جمله مدل‌های ون‌گنوختن-علم، ون‌گنوختن اصلاح شده، کوسوگی، بروکس-کوری و دورنر در شبیه‌سازی پروفیل رطوبتی آبیاری قطره‌ای سطحی مورد ارزیابی قرار گرفت. علاوه بر این به منظور بهبود نتایج بدست آمده، یک مدل ترکیبی با استفاده از روش میانگین‌گیری بیزی (BMA) بر مبنای وزن‌دهی به عملکرد مدل‌های هیدرولیکی مذکور ارائه شده است. به منظور بررسی عملکرد مدل‌های مختلف، آزمایشی با روش آبیاری قطره‌ای T-Tape در مزرعه‌ای با خاک لوم رسی انجام گرفت. مقایسه نتایج مقادیر شبیه‌سازی با مقادیر اندازه‌گیری شده رطوبت حجمی خاک در زمان‌های آبیاری ۸ و ۲۴ ساعت و با استفاده از پارامترهای مجذور میانگین مربعات خطأ و ریشه میانگین مربعات خطأ نرمال شده انجام گرفت. براساس نتایج بدست آمده، ریشه میانگین مربعات خطأ نرمال شده پیش‌بینی رطوبت حجمی خاک برای زمان‌های ۸ و ۲۴ ساعت به ترتیب در محدوده ۰/۰۶ تا ۰/۰۹ و ۰/۰۵ تا ۰/۰۹ (cm³cm⁻³) بدست آمد. مقدار متوسط ضریب تعیین برای زمان‌های ۸ و ۲۴ ساعت به ترتیب، ۰/۹۳ و ۰/۸۹ بدست آمد.

واژه‌های کلیدی: آبیاری قطره‌ای سطحی، پارامترهای هیدرولیکی خاک، مدل هایدروس، مدل میانگین‌گیری بیزی

آمده اکثرا مربوط به خاک‌های دست‌خورده است؛ بنابراین

محققان برای تعیین ضرایب هیدرولیکی از مدل‌ها و یا روابط تجربی استفاده می‌کنند. مدل HYDRUS یکی از مدل‌های پیشرفته برای شبیه‌سازی حرکت آب، املاح و گرما در خاک می‌باشد که در آزمایشگاه شوری آمریکا ارائه شده است (Simunek *et al.*, 1998). این مدل شامل حل عددی معادله ریچاردز برای بررسی حرکت آب در خاک و معادلات انتقال-انتشار برای بررسی حرکت املاح و گرما در خاک است. این مدل قادر به شبیه‌سازی در شرایط اشباع و غیراشباع بوده و برای تخمین مشخصات هیدرولیکی خاک، پنج مدل هیدرولیکی مختلف از جمله مدل‌های ون‌گنوختن-علم، ون‌گنوختن-علم اصلاح شده، بروکس-کوری، کوسوگی و دورنر ارائه شده است (Simunek *et al.*, 1999).

تاکنون از مدل HYDRUS در مطالعات بسیاری همچون بررسی تاثیر روش‌های مختلف آبیاری و تغییرات مکانی هدایت

مقدمه

پارامترهای هیدرولیکی خاک از جمله هدایت هیدرولیکی نقش مهمی در حرکت آب‌های زیرزمینی، جریان آب در محیط‌های مخلخل، انتقال مواد آلاینده و طراحی سیستم‌های زهکشی دارد. ضرایب هیدرولیکی در محیط اشباع به بالاترین مقدار خود رسیده و در محیط غیراشباع با کاهش رطوبت حجمی، به شدت کاهش می‌یابد. در حالت غیراشباع، اندازه‌گیری این ضرایب خیلی مشکل و مستلزم صرف هزینه و وقت زیادی است. روش-آزمایش، صرف وقت زیاد و نامعین بودن مرهزهای نمونه خاک، روبه‌رو هستند و از سوی دیگر، اندازه‌گیری آزمایشگاهی عمدتاً در رطوبت‌های نزدیک اشباع امکان‌پذیر است و نتایج به دست

صورت نگرفته است. لذا هدف از تحقیق حاضر، مقایسه داده‌های رطوبت حجمی مزرعه‌ای با داده‌های شبیه‌سازی شده آبیاری قطره‌ای سطحی، با استفاده از ۵ مدل هیدرولیکی ون‌گنوختن-علم، ون‌گنوختن-علم اصلاح شده، بروکس-کوری، کوسوگی و دورنر موجود در مدل HYDRUS-2D برده است. همچنین برای نخستین بار در این مطالعه یک مدل ترکیبی با استفاده از روش BMA با هدف بهبود شبیه‌سازی حرکت آب در خاک ارائه شده است.

مواد و روش‌ها

آزمایش‌های میدانی

آزمایش‌های میدانی بر روی خاکی با بافت لوم رسی در مزرعه تحقیقاتی دانشگاه ارومیه انجام گرفت. خاک محل آزمایش تا عمق ۸۰ سانتی‌متری، جهت یکنواختی بیشتر شخم زده شد و بافت خاک به روش هیدرورومتری تعیین گردید. نتایج خصوصیات فیزیکی خاک در جدول ۱ ارائه شده است (Khanmohammadi et al., 2012). در این تحقیق، از روش آبیاری قطره‌ای سطحی استفاده گردید. قطر لوله‌ها ۲ سانتی‌متر و فاصله قطره‌چکان‌ها روی لوله ۱ متر بود. زمان‌های آبیاری بر اساس ساعات کارکرد نرمال در آبیاری قطره‌ای سطحی ۸ و ۲۴ ساعت در نظر گرفته شد. دبی قطره‌چکان‌ها در طول آزمایش ثابت و برابر با ۴ لیتر در ساعت در نظر گرفته شد. بر اساس دبی قطره‌چکان‌ها و زمان کاربرد، حجم آب کاربردی به ترتیب ۳۲ و ۹۶ لیتر بدست آمد. برای تعیین میزان رطوبت خاک از دستگاه رطوبت‌سنج Wet استفاده گردید. قرائت رطوبت‌ها در فواصل افقی ۱۰ سانتی‌متر و فواصل عمودی ۴ سانتی‌متر انجام گرفت.

شبیه‌سازی جریان آب در خاک

با توجه به عدم همپوشانی قطره‌چکان‌ها روند حرکت آب در طول نفوذ و توزیع، به صورت متقاضن در نظر گرفته شد. برای شبیه‌سازی نفوذ و توزیع رطوبت خاک، مدل HYDRUS-2D موردن استفاده قرار گرفت (Simunek et al., 2006). معادله‌ی حاکم بر جریان آب در یک محیط همگن و ایزوتروپیک خاک، معادله‌ی ریچاردز به صورت زیر می‌باشد:

(رابطه ۱)

$$\frac{\partial \theta}{\partial t} = \frac{1}{r} \frac{\partial}{\partial r} \left[r K(h) \frac{\partial h}{\partial r} \right] + \frac{\partial}{\partial z} \left[K(h) \frac{\partial h}{\partial z} + K(h) \right]$$

که در آن، θ رطوبت حجمی آب خاک ($L^3 L^{-3}$)، t زمان (T)، r محور افقی، z محور پتانسیل فشاری آب (L)، $K(h)$ هدایت (Cote et al., 2003) و h عمو

هیدرولیکی اشباع بر انتقال املاح در آبیاری جویچه‌ای (Wang et al., 1997)، تحلیل رطوبت و شوری خاک (Forkutza et al., 2008; Simunek et al., 2008; Xie et al., 2011 ۲۰۰۹)، شبیه‌سازی آب‌شویی آب و نیترات در مزارع ذرت و کلزا تحت آبیاری جویچه‌ای مداوم و یک در میان (Tafteh and Sepaskhah, 2012) بررسی توزیع رطوبت در خاک اطراف یک قطره‌چکان (Nagavi et al., 2012; El-nesr et al., 2014) بررسی گسترش جبهه رطوبتی در آبیاری قطره‌ای در خاک دو لایه (Khanjani and Vrugt et al., 2001) و جذب آب ریشه (Dalir hasannia, 2014) استفاده شده است. نتایج اغلب این تحقیقات نشان داده است که مدل HYDRUS توانسته نحوه توزیع آب و املاح در خاک را در مقایسه با مقادیر مشاهداتی به خوبی توصیف نماید؛ اما توجه به این نکته لازم است که اطلاع از مشخصات هیدرولیکی خاک در شبیه‌سازی حرکت آب و املاح بسیار ضروری است. تغییرات زمانی پارامترهای هیدرولیکی در شبیه‌سازی با مدل HYDRUS-2D به این نتیجه رسیدند که در شبیه‌سازی با این مدل، لحظه نمودن تغییرات زمانی پارامترهای هیدرولیکی خاک، نقش مهمی در بهبود نتایج شبیه‌سازی ایفا می‌کند، به ویژه این تغییرات بعد از اولین آبیاری بسیار مشهود می‌باشد.

حرکت آب در خاک، پدیده‌ای پیچیده و غیرخطی است که طیف وسیعی از عوامل محیطی بر آن تاثیرگذار هستند. همواره به دلیل وجود عدم قطعیت در اندازه‌گیری داده‌ها و عدم قطعیت پارامترهای مدل‌های هیدرولیکی مختلف، نتایج حاصل نیز دارای عدم قطعیت می‌باشند. یکی از متدائل‌ترین روش‌ها برای تعیین عدم قطعیت خروجی‌های مختلف تحت روش‌های گوناگون، روش میانگین‌گیری بیزی (BMA^*) است. Ajami et al. (2006) برای تحلیل عدم قطعیت مدل‌های بارش-رواناب از این روش استفاده کردند. آنها با استفاده ترکیبی از خروجی‌های مدل هیدرولوژیکی توانستند عملکرد بهتری نسبت به استفاده از یک مدل تنها بدست آورند. در مطالعه‌ای دیگر، Ajami et al. (2007) با استفاده از ترکیب سه سناریو ناشی از تغییر ساختار مدل هیدرولوژیکی، توانستند باند عدم قطعیت آن را بهبود ببخشند. علاوه بر این، Hemri (2012) نیز برای تعیین عدم قطعیت رواناب تولید شده در رودخانه آلپ از روش BMA استفاده کرد. با توجه به مطالعات انجام شده، تاکنون تحقیقی در زمینه بررسی کارایی و مقایسه مدل‌های هیدرولیکی ارائه شده در مدل HYDRUS-2D در پیش‌بینی حرکت آب در خاک

سطح خاک به عنوان شرایط مرزی بالادست در نظر گرفته شد که برابر مقدار تبخیر از سطح خاک می‌باشد. زهکشی آزاد برای حرکت آب در مرز پایین دست در نظر گرفته شد.

هیدرولیکی غیراشباع (LT^{-1}) می‌باشد. رطوبت اندازه‌گیری شده خاک قبل از انجام آزمایش، به عنوان شرایط اولیه در نظر گرفته شد. شرط مرزی بالادست در زمان آبیاری بصورت قطره چکان با جریان ثابت و پس از اتمام آبیاری، قطره چکان با جریان صفر و

جدول ۱- مشخصات فیزیکی خاک مزرعه‌ی آزمایشی.

| عمق (cm) | بافت خاک | شن (%) | سیلت (%) | رس (%) | چگالی ظاهری (g cm ⁻³) | مکش (kpa) | مکش (kpa) | رطوبت حجمی خاک (%) |
|-------------|-------------|-----------|-------------|-----------|--------------------------------------|--------------|--------------|--------------------|
| ۰-۸۰ | لوم رسی | ۵۴/۸ | ۳۹/۶ | ۵/۶ | ۱/۵۵ | ۲۸ | ۵/۴ | ۱۵۰۰ |

Vogel and Cislerova (1988) تصویر زیر ارائه شده است:

$$\theta(h) = \begin{cases} \theta_a + \frac{\theta_m - \theta_a}{(1+|\alpha h|^n)^m} & h < h_s \\ \theta_s & h \geq h_s \end{cases} \quad (رابطه ۴)$$

(رابطه ۵)

$$K(h) = \begin{cases} K_s K_r(h) & h \leq h_s \\ K_k + \frac{(h-h_k)(K_s-K_k)}{h_s-h_k} & h_k < h < h_s \\ K_s & h \geq h_s \end{cases} \quad (رابطه ۶)$$

(رابطه ۶)

$$F(\theta) = \left[1 - \left(\frac{\theta - \theta_a}{\theta_m - \theta_a} \right)^{\frac{1}{m}} \right]^m \quad (رابطه ۷)$$

$$S_{ek} = \frac{\theta_k - \theta_r}{\theta_s - \theta_r} \quad (رابطه ۸)$$

در معادلات بالا، با جایگزینی پارامتر θ_s تابع نگهداشت ون گنوختن با یک پارامتر غیر واقعی θ_m (اندکی بزرگتر از θ_s)، امکان یک حداقل ارتفاع کاپیلاری، h_s در نظر گرفته شده است (شکل ۱). اگرچه تغییر θ_m به تغییر چندانی در منحنی نگهداشت آب خاک نداشته است، اما تاثیر آن در شکل و مقدار تابع هدایت هیدرولیکی، به ویژه خاک‌های ریز بافت قابل توجه می‌باشد. هم‌چنین برای افزایش انعطاف‌پذیری معادلات تحلیلی، پارامتر θ_r در تابع نگهداشت با پارامتر غیر واقعی θ_a ($\theta_r \geq \theta_a$)، برای مقدار رطوبت یکسان جایگزین شده است. در معادله (۶)، برای مقدار رطوبت یکسان یا کمتر از رطوبت اشباع، $\theta_s \geq \theta_k$ هدایت هیدرولیکی پیش بینی شده با هدایت هیدرولیکی اندازه‌گیری شده مطابقت دارد شده است، به طوری که $K_k = K(\theta_k)$. در صورتی که $K_k \leq K_s$ ، تابع هیدرولیکی $K_k = K_s$ و $\theta_m = \theta_k = \theta_s$ ، $\theta_a = \theta_r$ Vogel and Cislerova (1980) van Genuchten (1988) به معادلات اصلی تنزل پیدا خواهد کرد.

تعیین مشخصات هیدرولیکی خاک غیراشباع مشخصات هیدرولیکی خاک در حالت غیراشباع، $K(h)$ و $\Theta(h)$ ، دارای تابع به شدت غیرخطی با بار فشاری می‌باشند. در مدل HYDRUS، پنج مدل تحلیلی مختلف به صورت زیر برای تخمین مشخصات هیدرولیکی خاک ارائه شده است.

مدل ون گنوختن- معلم (VM) van Genuchten (1980) از مدل آماری توزیع اندازه-منافذ Mualem (1976) برای تعیین هدایت هیدرولیکی غیراشباع استفاده کرد (El-nesr et al, 2014) (رابطه ۲)

$$\theta(h) = \theta_r + \frac{\theta_s - \theta_r}{(1 + |\alpha h|^n)^m}, \quad m = 1 - \frac{1}{n}, \quad n > 1 \quad (رابطه ۳)$$

$$K(h) = K_s \left(\frac{\theta - \theta_r}{\theta_s - \theta_r} \right)^l \left[1 - \left(1 - \left(\frac{\theta - \theta_r}{\theta_s - \theta_r} \right)^{\frac{1}{m}} \right)^m \right]^2$$

که در آن، θ_s و θ_r به ترتیب رطوبت حجمی اشباع و رطوبت حجمی باقیمانده در خاک ($L^3 L^{-3}$)، l پارامتر تجربی مربوط به پیوستگی خلل و فرج خاک، h مکش ماتریک (L)، n و m پارامترهای شکل منحنی مشخصه‌ی رطوبتی خاک، α عکس مقدار ورود هوا (L^{-1}) و k_s هدایت هیدرولیکی اشباع خاک (LT^{-1}) می‌باشند.

مدل ون گنوختن- معلم اصلاح شده (MVM) van Genuchten (1988) معادلات Vogel and Cislerova (1980) را اصلاح کردد و مدلی با انعطاف‌پذیری بالا در توصیف مشخصات هیدرولیکی خاک در نقاط نزدیک به رطوبت اشباع

$$S_e = \begin{cases} |\alpha h|^{-n} & h < -1/\alpha \\ 1 & h \geq -1/\alpha \end{cases} \quad (رابطه ۱۱)$$

$$K = K_s S_e^{2/(n+1+2)} \quad (رابطه ۱۲)$$

مدل دورنر (D)

Durner (1994) محیط متخلخل را به دو ناحیه متداخل تقسیم کرد و برای تخمین مشخصات هیدرولیکی هر کدام از این نواحی، از معادله ون گنوختن-معلم استفاده کرد:

$$(رابطه ۱۳)$$

$$S_e = w_1 [1 + (\alpha_1 h)^{n_1}]^{-m_1} + w_2 [1 + (\alpha_2 h)^{n_2}]^{-m_2}$$

با ترکیب این معادله نگهداشت و مدل توزیع اندازه-منافذ

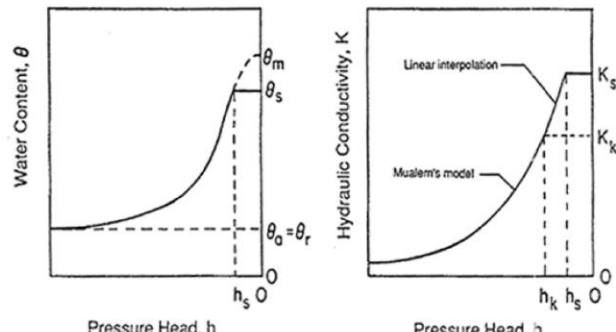
(1976) رابطه زیر حاصل می‌شود:

$$(رابطه ۱۴)$$

$$K(s_e) = K_s ((w_1 S_{(e_1)} + w_2 S_{(e_2)})^{1/(w_1 \alpha_1 [1 - ((1 - S_{(e_1)})^{1/m_1})]^{m_1}] + w_2 \alpha_2 [1 - ((1 - S_{(e_2)})^{1/m_2})]^{m_2}] / (w_1 \alpha_1 + w_2 \alpha_2)^{2})$$

به طوری که w_i بیانگر فاکتور وزنی برای دو ناحیه متداخل و α_i , m_i و ۱ پارامترهای تجربی برای توابع هیدرولیکی ($i=1,2$) هستند. در این مطالعه پارامترهای هیدرولیکی خاک برای مدل‌های مختلف، با استفاده از مقادیر پیشنهادی مدل Rosetta (Schaap *et al*, 2001) و جدول ۲. مزیت روش مدل‌سازی معکوس در آن است که با بهره‌گیری از رطوبت خاک در شرایطی مشابه با شرایط مزرعه که اغلب موقع امکان‌پذیر است، ویژگی‌های هیدرولیکی خاک برآورده می‌شود (Abbasi, 2009).

(Abbasi, 2009)



شکل ۱- توابع نگهداشت آب خاک و هدایت هیدرولیکی ارائه شده در

معادلات (۴) و (۵)

مدل کوسوگی (K)

Kosugi (1996) یک مدل توزیع لوگ-نرمال به صورت زیر ارائه کرده است:

$$(رابطه ۹)$$

$$S_e = \frac{\theta - \theta_r}{\theta_s - \theta_r} = \begin{cases} \frac{1}{2} \operatorname{erfc} \left\{ \frac{\ln(\frac{h}{\theta})}{\sqrt{2n}} \right\} & h < 0 \\ 1 & h \geq 0 \end{cases}$$

با استفاده از مدل معلم، مدل هدایت هیدرولیکی به صورت زیر می‌باشد:

$$(رابطه ۱۰)$$

$$K = \begin{cases} K_s S_e^{1/2} \left\{ \frac{1}{2} \operatorname{erfc} \left[\frac{\ln(\frac{h}{\theta})}{\sqrt{2n}} + \frac{n}{\sqrt{2}} \right] \right\}^2 & h < 0 \\ K_s & h \geq 0 \end{cases}$$

مدل بروکس و کوری (BK)

توابع نگهداشت آب خاک و هدایت هیدرولیکی خاک ارائه شده

توسط Brooks and Corey (1964) به صورت زیر است:

جدول ۲- پارامترهای هیدرولیکی خاک برای مدل‌های مختلف.

| n_2 (-) | α | w_2 | K_s (cm/hr) | Θ_k^r (cm ³ /cm ³) | Θ_a^r (cm ³ /cm ³) | Θ_m^r (cm ³ /cm ³) | L (-) | α (1/cm) | n (-) | K_s (cm/hr) | Θ_r^r (cm ³ /cm ³) | Θ_s^r (cm ³ /cm ³) | β |
|--------------|----------|-------|------------------|---|---|---|------------|--------------------|------------|------------------|---|---|---------|
| - | - | - | - | - | - | - | 0/5 | 0/0025 | 1/2 | 0/85 | 0/029 | 0/347 | VM |
| - | - | - | 0/83 | 0/34 | 0/029 | 0/35 | 0/5 | 0/0025 | 1/2 | 0/85 | 0/029 | 0/347 | MVM |
| - | - | - | - | - | - | - | 0/5 | 0/001 | 1/2 | 0/85 | 0/029 | 0/347 | K |
| - | - | - | - | - | - | - | 0/5 | 0/006 | 1/3 | 0/85 | 0/029 | 0/347 | BK |
| 1/3 | 0/006 | 0/5 | - | - | - | - | 0/5 | 0/0025 | 1/2 | 0/85 | 0/029 | 0/347 | D |

(عدم قطعیت در داده‌های ورودی، پارامترهای موجود در مدل-سازی و فرآیندهای در نظر گرفته شده)، باعث به وجود آمدن چندین خروجی در یک منطقه و در یک زمان معین شده و در نتیجه باعث ایجاد عدم قطعیت در نتایج می‌گردد. در اغلب موارد

ترکیب مدل‌های هیدرولیکی به روش میانگین‌گیری مدل بیزی (BMA)

در شبیه‌سازی‌های حرکت آب در خاک با استفاده از مدل‌های هیدرولیکی مختلف، عدم قطعیت موجود در فرآیندهای مختلف

$$\text{NRMSE} = \frac{1}{O} \times \sqrt{\frac{1}{n} \sum_{i=1}^n (S_i - O_i)^2} \times 100 \quad (\text{رابطه ۱۶})$$

$$\text{RMSE} = \sqrt{\frac{1}{n} \sum_{i=1}^n (S_i - O_i)^2} \quad (\text{رابطه ۱۷})$$

$$\text{NS} = 1 - \frac{\sum_{i=1}^n (S_i - O_i)^2}{\sum_{i=1}^n (O_i - \bar{O})^2} \quad (\text{رابطه ۱۸})$$

$$\text{CRM} = 1 - \left(\sum_{i=1}^n S_i / \sum_{i=1}^n O_i \right) \quad (\text{رابطه ۱۹})$$

که در آن، S_i مقادیر پیش‌بینی شده، O_i مقادیر اندازه‌گیری شده می‌باشد. مقدار NRMSE ایده‌آل برای مدل‌سازی کمتر از ۰٪ می‌باشد. NRMSE در بازه ۱۰ تا ۲۰٪ و ۲۰ تا ۳۰٪ به ترتیب نشانگر وضعیت مناسب و متوسط مدل در پیش‌بینی و بیشتر از ۳۰٪ نشان دهنده عدم اطمینان از مدل می‌باشد. شاخص RMSE نشان دهنده عدم اطمینان مطلق مدل می‌باشد، این شاخص هر چه به سمت عدد صفر میل کند نشان از تخمین بهتر مدل خواهد بود. آماره CRM نشانگر تمایل مدل برای بیش‌برآورد و یا کم‌برآورد در مقایسه با اندازه‌گیری‌ها می‌باشد. ضریب تعیین از صفر تا ۱ متغیر و مقدار کارایی نش - ساتکلیف از منفی بی‌نهایت تا ۱ متغیر می‌باشد (Sing *et al.*, 2008; Eitzinger *et al.*, 2004).

نتایج و بحث

نتایج توزیع رطوبت خاک برای داده‌های اندازه‌گیری و شبیه‌سازی شده در زمان‌های ۸ و ۲۴ ساعت پس از آبیاری به ترتیب در شکل-های ۲ و ۳ ارائه شده است. همچنین به منظور بررسی دقیق تر عملکرد مدل‌های مختلف در محل قطره چکان، نمودار تغییرات رطوبت اندازه‌گیری و شبیه‌سازی شده در فواصل ۶، ۱۰، ۲۰ و ۳۰ سانتی متری از قطره چکان مورد مقایسه قرار گرفت. همانطور که در شکل ۲ مشاهده می‌شود، میزان رطوبت حجمی بدست آمده از مدل‌های مختلف در ۸ ساعت پس از آبیاری بین ۷ تا ۳۳ درصد متغیر بوده است. بطوریکه بیشترین رطوبت حجمی در محل قطره-چکان بوده و با گذشت زمان به نقطه اشباع (۳۴٪ درصد) نزدیک شده است. با توجه به شکل ۲، پیشروی آب در عمق ۱۰ تا ۳۰ سانتی‌متر در مدل‌های ون‌گنوختن، بروکس-کوری، کوسوگی، دورنر و مدل ترکیبی BMA نشان می‌دهد که در داده‌های شبیه‌سازی عمق پیشروی رطوبت منظم‌تر و در مقایسه با داده‌های اندازه‌گیری رطوبت، عمق بیشتری داشته‌اند. پیشروی آب در عمق ۱۰ تا ۴۰ سانتی‌متر برای مدل MVM نشان می‌دهد که عمق پیشروی رطوبت خیلی منظم نمی‌باشد.

سعی شده است که با استفاده از مقایسه آماری یکی از این مدل‌ها انتخاب شده و شبیه‌سازی داده‌ها با استفاده از آنها صورت گیرد که این امر می‌تواند با توجه به احتمال وقوع سایر سناریوهای باعث ایجاد خطأ در نتایج شود. از این‌رو در نظر گرفتن نتایج مدل‌ها و سناریوهای ممکن در شبیه‌سازی می‌تواند دقت آن را بالا برد و اعتمادپذیری به پیش‌بینی‌های مدل را افزایش دهد. یکی از متدائل‌ترین این روش‌ها برای ترکیب نتایج مدل‌ها و تحلیل عدم قطعیت آنها، روش BMA می‌باشد.

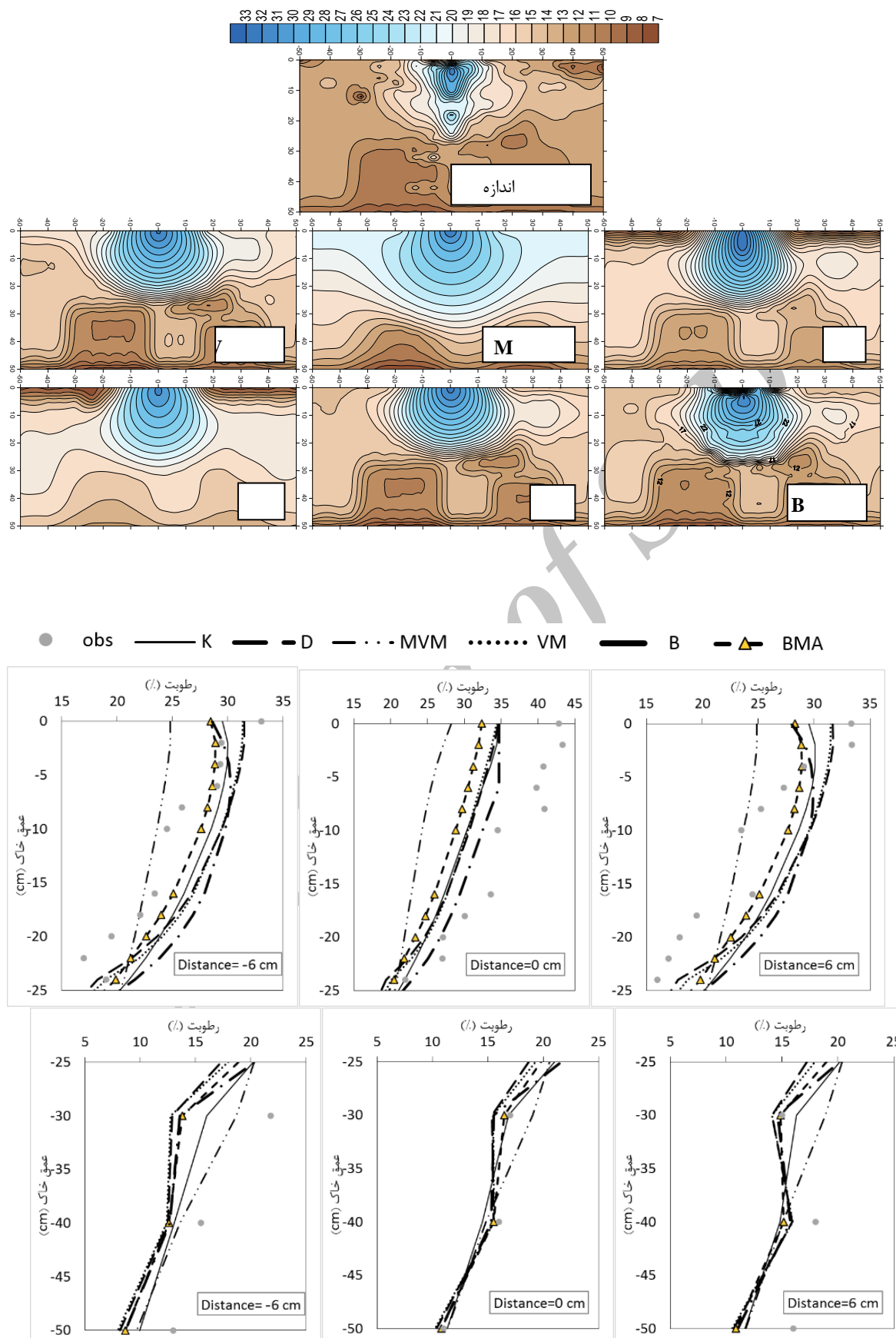
در روش BMA فرض می‌شود که تمامی مدل‌ها مفید بوده و در شبیه‌سازی، قابلیت استفاده را دارند ولی درجه اعتماد به آنها متفاوت می‌باشد که توسط وزن هر یک از آنها معلوم می‌گردد. وزن هر یک از شبیه‌سازی‌ها و واریانس مربوط بهتابع توزیع آنها از طریق تابع توزیع پسین هر کدام تعیین می‌شود. سپس با استفاده از وزن‌های تعیین شده، یکی از مدل‌های شبیه‌سازی انتخاب و با استفاده از تابع توزیع آن عددی تصادفی انتخاب می‌شود. در این روش مقادیر مورد نیاز جهت تخمین باند عدم قطعیت، از طریق متوسط‌گیری وزنی مقادیر شبیه‌سازی‌ها محاسبه می‌شوند. وزن هر یک از این شبیه‌سازی‌ها بستگی به میزان همیستگی آنها با داده‌های مشاهداتی دارد که توسط احتمالات پسین هر مدل اندازه‌گیری می‌شوند. اگر فرض شود که f_1, f_2, \dots, f_k مدل‌های شبیه‌سازی موجود (سناریوهای شبیه‌سازی شده) باشند و تابع توزیع هر کدام از آنها به صورت $(y | f_k)$ باشد، آنگاه مدل پیش‌بینی کننده BMA مطابق رابطه زیر تعریف می‌گردد:

$$P(y | f_1, \dots, f_k) = \sum_{k=1}^K w_k g_k(y | f_k) \quad (\text{رابطه ۱۵})$$

در رابطه بالا، W_K احتمال انتخاب شبیه‌سازی k به عنوان بهترین شبیه‌سازی می‌باشد که بر اساس عملکرد شبیه‌سازی k تعیین می‌گردد. این مقادیر خاصیت احتمالی دارند، به طوری که هر یک از آنها غیر منفی بوده و مجموع تمامی آنها برابر با ۱ می‌باشد ($\sum_{k=1}^K w_k = 1$). در این مطالعه به منظور ترکیب مدل‌های هیدرولیکی مختلف، از بسته Ensemble BMA در نرم‌افزار R استفاده شد.

شاخص‌های ارزیابی عملکرد مدل‌ها

برای ارزیابی و سنجش اعتبار مدل با نتایج اندازه‌گیری در سطح مزرعه از یکسری شاخص‌های ارزیابی شامل ریشه میانگین مربعات خطای نرمال شده (NRMSE)، مجدور میانگین مربعات خطای (RMSE)، معیار نش ساتکلیف (NS)، ضریب باقیمانده (CRM) (Moriasi *et al.*, 2007) و ضریب تعیین (R^2) استفاده



شکل ۲- تغییرات رطوبت اندازه‌گیری و شبیه‌سازی شده در زمان ۸ ساعت پس از آبیاری قطره‌ای سطحی برای ۵ مدل موجود در HYDRUS-2D و مدل BMA

کمترین و بیشترین مقدار خطای RMSE برای مدل BMA و MVM مدل‌های MVM و K (دارای خطای یکسان با مقدار $0/0589 \text{ cm}^3 \text{ cm}^{-3}$) بدست آمد. با توجه به جدول ۳، مقدار آماره CRM در زمان ۸ ساعت برای مدل‌های MVM، VM، K و D، منفی به دست آمد که نشان داد، نرمافزار تمایل به بیش‌برآورد دارد، هم‌چنین مقدار این آماره برای دو مدل BK و K مثبت بدست آمد که نشان داد نرمافزار تمایل به کم‌برآورد دارد. مقدار آماره CRM برای مدل ترکیبی BMA منفی ($-0/024$) بدست آمد که نشان‌دهنده‌ی بیش‌برآوردهی مدل BMA می‌باشد. شاخص نش-ساتکلیف برای زمان ۸ ساعت نزدیک به یک بوده و بالای ۹۷ درصد محاسبه گردید (جدول ۳). هم‌چنین بیشترین مقدار نش-ساتکلیف برای مدل ترکیبی BMA بدست آمد که برابر با ۹۹ درصد می‌باشد. با توجه به جدول ۳، ضریب تعیین مقادیر مشاهده‌ای و شبیه‌سازی رطوبت در زمان ۸ ساعت خیلی نزدیک به یک بوده و بالای ۹۰ درصد (در محدوده $0/04$ تا $0/06 \text{ cm}^3 \text{ cm}^{-3}$) بدست آمد که نزدیک برای $n=14$ محاسبه گردید که بیشترین مقدار همبستگی برای مدل ترکیبی BMA ($95/4$ درصد) بدست آمد.

مقادیر کمی پارامترهای ارزیابی و سنجش اعتبار دو مدل HYDRUS-2D و BMA در پیش‌بینی رطوبت حجمی برای NRMSE زمان ۸ ساعت، در جدول ۳ آورده شده است. مقدار CRM در زمان ۸ ساعت برای ۵ مدل K.BK، MVM، VM و D بیشتر از ۲۰ درصد (در محدوده $0/029$ تا $0/022 \text{ cm}^3 \text{ cm}^{-3}$) به دست آمد که بر اساس این آماره، مدل‌سازی رطوبت حجمی متوسط می‌باشد. هم‌چنین مقدار خطای نرمال‌شده توسط مدل ترکیبی BMA از خطای HYDRUS-2D درصد بدست آمد که مقدار عددی مدل BMA از بیشترین مقدار خطای نرمال شده در زمان ۸ ساعت برای مدل BMA و K بدست آمد که به ترتیب برابر با $20/36$ و $28/63$ درصد می‌باشد (جدول ۳). مقدار RMSE برای رطوبت حجمی در زمان ۸ ساعت برای ۵ مدل HYDRUS-2D کمتر از $0/06$ (در محدوده $0/004$ تا $0/006 \text{ cm}^3 \text{ cm}^{-3}$) به دست آمد که نزدیک به عدد صفر می‌باشد. مقدار خطای HYDRUS-2D برای مدل ترکیبی BMA، ($0/042 \text{ cm}^3 \text{ cm}^{-3}$) بدست آمد که از مقدار عددی خطای ۵ مدل HYDRUS-2D همانند رطوبت حجمی زمان ۴ ساعت کمتر می‌باشد (جدول ۳). هم‌چنین با توجه به جدول ۳،

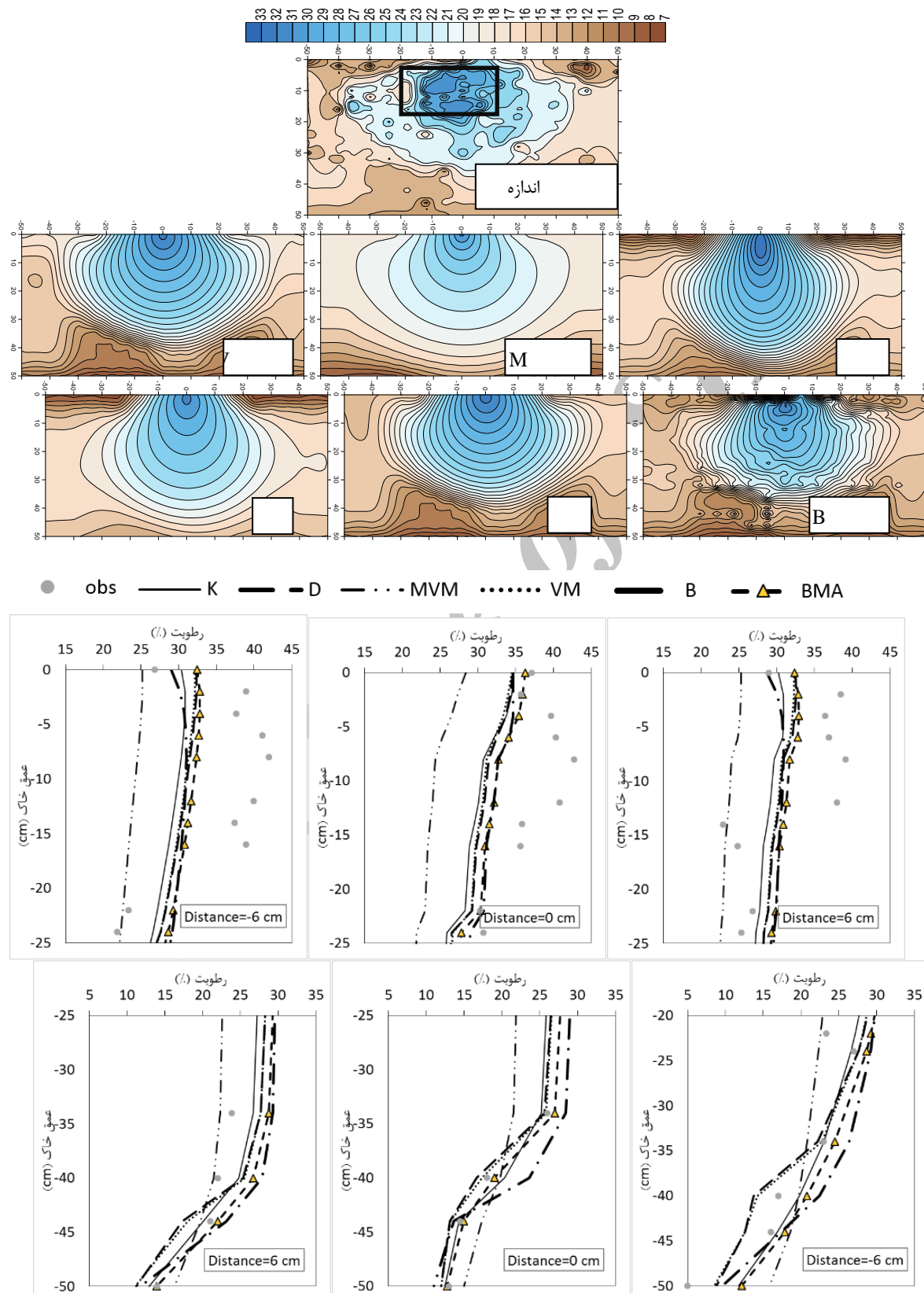
جدول ۳- پارامترهای آماری ارزیابی مدل HYDRUS-2D و BMA برای رطوبت حجمی در زمان ۸ ساعت پس از آبیاری.

| NRMSE (%) | RMSE ($\text{cm}^3 \text{ cm}^{-3}$) | NS (-) | CRM (-) | R^2 (-) | مدل |
|-----------|--|--------|---------|-----------|-----|
| ۲۸/۶۱۴ | ۰/۰۵۲۶ | ۰/۹۸۲ | -۰/۱۱۷ | ۰/۹۴۱ | VM |
| ۲۵/۵۴۴ | ۰/۰۵۸۹ | ۰/۹۷۷ | -۰/۰۲۴ | ۰/۹۰۸ | MVM |
| ۲۲/۸۸۷ | ۰/۰۴۷۲ | ۰/۹۸۵ | -۰/۰۲۸ | ۰/۹۴۲ | BK |
| ۲۸/۶۲۵ | ۰/۰۵۸۹ | ۰/۹۷۷ | -۰/۱۰۹ | ۰/۹۱۳ | K |
| ۲۲/۳۷۱ | ۰/۰۴۶۱ | ۰/۹۸۶ | -۰/۰۸۰ | ۰/۹۵۱ | D |
| ۲۰/۳۵۹ | ۰/۰۴۱۹ | ۰/۹۸۸ | -۰/۰۲۴ | ۰/۹۵۴ | BMA |

NRMSE در زمان ۲۴ ساعت برای دو مدل MVM و K بیشتر از ۳۰ درصد (در محدوده $0/031$ تا $0/039 \text{ cm}^3 \text{ cm}^{-3}$) به دست آمد که بر اساس این آماره، مدل‌سازی رطوبت حجمی توسط این دو مدل مناسب نبوده و در زمان ۲۴ ساعت برای این دو مدل، عدم اطمینان از نتایج مدل HYDRUS-2D وجود دارد. مقدار خطای نرمال شده برای سه مدل VM، BK و D بیشتر از ۲۰ درصد (در محدوده $0/027$ تا $0/030 \text{ cm}^3 \text{ cm}^{-3}$) به دست آمد که نشان می‌دهد مدل‌سازی رطوبت HYDRUS-2D توسط این سه مدل متوسط می‌باشد. هم‌چنین مقدار خطای نرمال شده توسط مدل ترکیبی BMA، درصد $26/50$ بدست آمد که همانند زمان ۸ ساعت مقدار این خطای در مدل BMA نسبت به ۵ مدل موجود در نرم-

با توجه به شکل ۳ حداکثر جبهه‌ی رطوبتی مربوط به آبیاری پس از ۲۴ ساعت می‌باشد. با توجه به شکل ۳ و کادر مشخص شده می‌توان نتیجه گرفت که حداکثر رطوبت پس از ۲۴ ساعت آبیاری در داده‌ای اندازه‌گیری شده مربوط به محل قطره‌چکان‌ها نیست بلکه مربوط به عمق 5 cm تا 20 cm سانتی‌متر و فاصله‌ی افقی می‌باشد که مربوط به عمق 5 cm تا 10 cm سانتی‌متر می‌باشد. در صورتی که در داده‌های شبیه‌سازی برای ۶ مدل این حداکثر رطوبت در عمق 0 cm تا 10 cm سانتی‌متر و فاصله‌ی افقی 5 cm تا 5 cm سانتی‌متر قرار دارد. مقادیر کمی پارامترهای ارزیابی و سنجش اعتبار مدل‌ها برای زمان ۲۴ ساعت، در جدول ۴ آورده شده است. با توجه به جدول ۴، مقدار

افزار HYDRUS-2D کمتر می‌باشد. کمترین و بیشترین مقدار خطای نرمال شده در زمان ۲۴ ساعت برای مدل ترکیبی BMA و MVM بدست آمد که به ترتیب برابر با ۲۶/۵۰ و ۳۸/۲۹ درصد می‌باشد (جدول ۴).



شکل ۳- تغییرات رطوبت اندازه‌گیری و شبیه‌سازی شده در زمان ۲۴ ساعت پس از آبیاری قطره‌ای سطحی برای ۵ مدل موجود در نرم‌افزار HYDRUS-2D و مدل BMA

ساعت می‌باشد. کمترین و بیشترین مقدار خطای RMSE برای RMSE و مدل BMA و مدل MVM بدست آمد. مقدار خطای RMSE برای مدل ترکیبی BMA ($\text{cm}^3 \text{cm}^{-3}$) بدست آمد که از مقدار عددی خطای ۵ مدل HYDRUS-2D (همانند رطوبت حجمی زمان ۸ ساعت) کمتر می‌باشد (جدول ۴).

مقدار RMSE، برای رطوبت حجمی در زمان ۲۴ ساعت برای ۵ مدل HYDRUS-2D کمتر از 0.09 (در محدوده 0.06 تا 0.09 $\text{cm}^3 \text{cm}^{-3}$) به دست آمد که نزدیک به عدد صفر می‌باشد، لازم به ذکر است که مقدار این خطا در زمان ۲۴ ساعت بیشتر از خطای رطوبت حجمی بدست آمده در زمان ۸

جدول ۴- پارامترهای آماری ارزیابی مدل HYDRUS-2D و BMA برای رطوبت حجمی در زمان ۸ ساعت پس از آبیاری.

| NRMSE (%) | RMSE ($\text{cm}^3 \text{cm}^{-3}$) | NS (-) | CRM (-) | R^2 (-) | مدل |
|-----------|---------------------------------------|--------|---------|-----------|-----|
| ۲۹/۸۹۴ | ۰/۰۶۷۳ | ۰/۹۵۳ | -۰/۰۴۵ | ۰/۸۹۴ | VM |
| ۳۸/۲۸۶ | ۰/۰۸۶۲ | ۰/۹۲۴ | ۰/۰۶۱ | ۰/۸۳۳ | MVM |
| ۲۸/۴۸۳ | ۰/۰۶۴۱ | ۰/۹۵۸ | ۰/۰۸۰ | ۰/۹۱۱ | BK |
| ۳۱/۱۲۲ | ۰/۰۷۰۱ | ۰/۹۴۹ | ۰/۱۴۸ | ۰/۹۰۶ | K |
| ۲۷/۳۶۹ | ۰/۰۶۱۶ | ۰/۹۶۱ | -۰/۰۱۲ | ۰/۹۱۰ | D |
| ۲۶/۵۰۱ | ۰/۰۵۹۷ | ۰/۹۶۳ | -۰/۰۱۰ | ۰/۹۱۶ | BMA |

برآوردها با سپری شدن ۷۲ ساعت از اتمام آبیاری و میانگین خطای $\text{m}^3 \text{m}^{-3}$ $RMSE = 0.002$ $\text{m}^3 \text{m}^{-3}$ به مقادیر واقعی نزدیکتر شد. در تحقیق Khanmohammadi *et al* (2012) پروفیل رطوبتی خاک در آبیاری قطره‌ای با مدل HYDRUS-2D شبیه‌سازی گردید. نتایج حاصله نشان داد که HYDRUS-2D توانایی بالای در پیش‌بینی توزیع مقدار آب خاک دارد (ضریب تعیین بین ۰/۹۱ تا ۰/۹۶ و بازه RMSE بین ۰/۰۷ تا ۰/۰۱ $\text{m}^3 \text{m}^{-3}$ برای سه آزمایش مختلف با زمان‌های متفاوت).

در تحقیقی دیگر، Khorami *et al* (2013) بیان کردند که مدل عددی ۳D HYDRUS 2D/3D با متوسط RMSE ۸ درصد در دو جهت افقی و عمودی حرکت آب در خاک، در برآورد ابعاد پیاز رطوبتی عملکرد بسیار خوبی دارد. Skaggs *et al* (2004) و Kandelous and Simunek (2010) جهت بررسی میزان دقت شبیه‌سازی‌های انجام شده توسط مدل HYDRUS-2D از مقادیر درصدهای رطوبت اندازه‌گیری شده استفاده کردند. مقدار خطای RMSE از ۰/۰۰۲ تا ۰/۰۴ برای شرایط آزمایش آنها تغییر کرد. آنها معتقد بودند که خطاهای ایجاد شده ناچیز بوده و می‌توان از مدل در شبیه‌سازی توزیع رطوبت اطراف قطره-چکان استفاده کرد.

در شکل ۵، مقادیر عمق آب نفوذی برآورد شده توسط مدل‌های VM، MVM و D، K، B و MVM در مدت زمان ۸ و ۲۴ ساعت ارائه شده است. با توجه به این شکل، در زمان ۸ ساعت، عمق آب نفوذ یافته در عمق $30\text{-}50$ سانتی‌متر در مدل‌های VM، MVM و D نسبت به دو مدل K و B بیشتر می‌باشد،

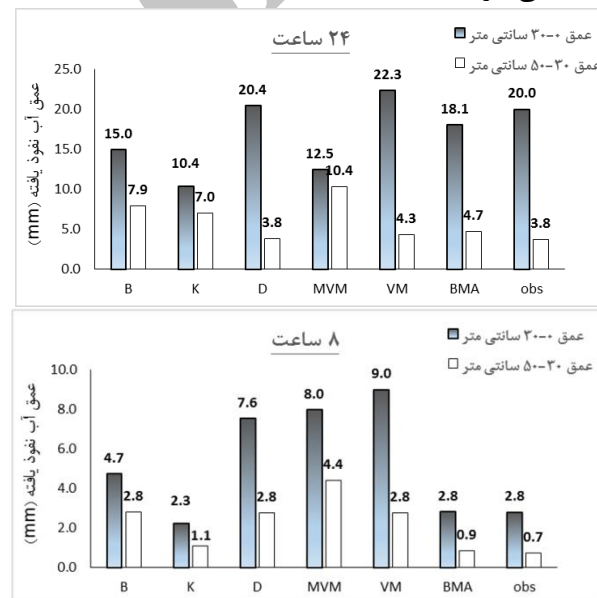
مقدار آماره CRM در زمان ۲۴ ساعت برای مدل‌های VM و D، منفی به دست آمد که نشان داد، نرم‌افزار تمایل به بیش برآورد دارد، همچنین مقدار این آماره برای سه مدل MVM، BK و K مثبت بدست آمد که نشان داد نرم‌افزار تمایل به کم برآورد دارد و رطوبت را بیشتر از مقادیر مشاهده‌ای پیش‌بینی می‌کند. مقدار آماره CRM برای مدل ترکیبی BMA منفی (۰/۰۱) بدست آمد که نشان‌دهنده‌ی بیش برآورده مدل BMA می‌باشد (جدول ۴). ساختکلیف برای زمان ۲۴ ساعت نزدیک به یک بوده و بالای ۹۲ درصد محاسبه گردید (جدول ۴). قابل ذکر است که مقدار عددی شاخص نش - ساتکلیف در زمان ۲۴ ساعت نسبت به زمان ۸ ساعت کمتر می‌باشد. همچنین نزدیک‌ترین عدد به یک مربوط به مقدار نش - ساتکلیف (۹۶ درصد) مدل ترکیبی BMA می‌باشد. با توجه به جدول ۴، ضریب تبیین مقادیر مشاهده‌ای و شبیه‌سازی رطوبت در زمان ۲۴ ساعت نزدیک به یک بوده و بالای ۸۰ درصد (در محدوده ۸۳ تا ۹۲ درصد برای $n=14$) محاسبه گردید، لازم به ذکر است که ضریب تعیین در زمان ۲۴ ساعت نسبت به زمان ۸ ساعت کمتر شده است و در این زمان، بیشترین مقدار همبستگی برای مدل ترکیبی BMA (۹۱/۶ درصد) بدست آمد. در تحقیق Nagavi *et al* (2012) میزان توانایی مدل شبیه‌ساز HYDRUS-2D جهت تخمین توزیع رطوبت در خاک اطراف قطره-چکان بررسی گردید. حداقل مقدار خطای RMSE به ازای زمان $1/5$ ساعت از شروع آبیاری در عمق $30\text{-}50$ سانتی‌متری در محل نصب قطره-چکان، $0.05 \text{ m}^3 \text{m}^{-3}$ بدست آمد. همچنین

عمق ۰-۳۰ سانتی‌متری، مدل D نسبت به سایر مدل‌ها از دقت بالایی برخوردار می‌باشد. عمق آب نفوذ یافته برای داده‌های مشاهداتی در عمق ۳۰-۵۰ سانتی‌متری، $\frac{3}{8}$ میلی‌متر بدست آمده که نزدیک به مقادیر مدل‌های VM، BMA و D (به ترتیب ۴/۳ و $\frac{3}{8}$ میلی‌متر) می‌باشد. لذا برای زمان ۲۴ ساعت در عمق ۳۰-۵۰ سانتی‌متری، مدل D نسبت به سایر مدل‌ها در اعمق پایین، رطوبت حجمی خاک را بهتر شبیه‌سازی می‌کند.

نتیجه‌گیری

هدف از تحقیق حاضر، بررسی دقت مدل‌های ون‌گنوختن-معلم، ون‌گنوختن-معلم اصلاح شده، بروکس-کوری، کوسوگی و دورنر ارائه شده در مدل HYDRUS-2D در شبیه‌سازی توزیع رطوبت حجمی خاک می‌باشد. در این تحقیق، مقادیر رطوبت حجمی اندازه‌گیری و پیش‌بینی شده توسط مدل‌ها به صورت عمقی و شعاعی، در مدت زمان‌های ۸ و ۲۴ ساعت مقایسه شدند. در این مطالعه یک مدل ترکیبی نیز با استفاده از روش میانگین گیری بیزی (BMA) با هدف بهبود شبیه‌سازی حرکت آب خاک ارائه شد. مقادیر رطوبت مشاهداتی و شبیه‌سازی شده با پارامترهای NS، CRM ($\text{cm}^3\text{cm}^{-3}$) و RMSE ($\text{cm}^3\text{cm}^{-3}$) و NRMSE ارزیابی شدند. در زمان ۸ ساعت بیشترین خطای NRMSE مربوط به مدل K و کمترین NRMSE مربوط به مدل ترکیبی BMA می‌باشد، همچنین بیشترین خطای RMSE مربوط به مدل‌های MVM و K (دارای خطای یکسان با مقدار $0.0589\text{ cm}^3\text{cm}^{-3}$) و MVM و K مربوط به مدل ترکیبی BMA می‌باشد. در زمان ۲۴ ساعت بیشترین خطای NRMSE مربوط به مدل MVM (درصد ۳۸/۲۹) و کمترین NRMSE مربوط به مدل ترکیبی می‌باشد، همچنین بیشترین خطای RMSE مربوط به مدل ترکیبی MVM و کمترین RMSE مربوط به مدل ترکیبی BMA می‌باشد. برای زمان ۸ ساعت در عمق ۰-۳۰ سانتی‌متر، عمق آب نفوذ یافته در مدل‌های MVM، VM و D بیشتر بوده و در عمق ۳۰-۵۰ سانتی‌متر، بیشترین عمق آب نفوذ یافته به مدل MVM مربوط شده. برای مدت زمان ۲۴ ساعت، مدل D نسبت به سایر مدل‌ها از دقت بالایی برخوردار می‌باشد. به طور کلی می‌توان نتیجه گرفت که مدل ترکیبی BMA نسبت به ۵ مدل VM، MVM و D موجود در HYDRUS-2D، نتایج مناسب‌تری نشان می‌دهد.

بیشترین و کمترین عمق آب نفوذی مربوط به مدل‌های VM و K بوده که به ترتیب مقادیرشان ۹/۰ و $2/3$ میلی‌متر می‌باشد. همچنین در عمق ۳۰-۵۰ سانتی‌متر، بیشترین عمق آب نفوذی مربوط به مدل MVM (۴/۴ میلی‌متر) می‌باشد. همان طور که در شکل ۵ مشاهده می‌گردد عمق آب نفوذی برای داده‌های مشاهداتی در اعماق ۰-۳۰ و ۳۰-۵۰ سانتی‌متر به ترتیب $2/8$ و $7/0$ میلی‌متر بدست آمده که خیلی نزدیک به مقادیر مدل BMA (اعماق ۰-۳۰ و ۳۰-۵۰ سانتی‌متر) به ترتیب $2/8$ و $9/0$ میلی‌متر می‌باشد، لذا مدل BMA نسبت به 5 مدل موجود در نرم‌افزار HYDRUS-2D از دقت بالایی برخوردار می‌باشد. قابل ذکر است که در عمق ۰-۳۰ سانتی‌متر ($2/3$ میلی‌متر)، فقط مدل K بین 5 مدل موجود در نرم‌افزار HYDRUS-2D مقدار نزدیک‌تری به مقدار عمق آب نفوذ یافته داده‌های مشاهداتی دارد.



شکل ۵- عمق آب نفوذ یافته برای زمان‌های ۸ و ۲۴ ساعت برای تمامی مدل‌ها.

برای زمان ۲۴ ساعت در عمق ۰-۳۰ سانتی‌متر، عمق آب نفوذ یافته در مدل‌های D، VM و B نسبت به 2 مدل MVM و K بیشتر می‌باشد، بیشترین و کمترین عمق آب نفوذی مربوط به مدل‌های VM و K بوده که به ترتیب مقادیرشان $22/3$ و $10/4$ میلی‌متر می‌باشد. همچنین در عمق ۳۰-۵۰ سانتی‌متر، بیشترین و کمترین عمق آب نفوذی به ترتیب مربوط به مدل MVM (۳/۸ میلی‌متر) و مدل D (۹/۰ میلی‌متر) می‌باشد. توجه به این شکل، عمق آب نفوذ یافته برای داده‌های مشاهداتی در عمق ۰-۳۰ سانتی‌متر، $20/0$ میلی‌متر بدست آمده که به مقادیر مدل‌های VM، BMA و D (به ترتیب $22/3$ ، $18/1$ و $20/0$ میلی‌متر) نزدیک می‌باشد. در مدت زمان ۲۴ ساعت در

REFERENCES

- Abbasi, F. (2009). Assessment of Indirect Methods to Estimate Soil Hydraulic Properties for Simulating Soil Moisture in a Sandy Loam Soil. *Journal of Agricultural Engineering Research*, 9(4), 31-44. (In Farsi)
- Ajami, N. K., Duan, Q., Gao, X., and Sorooshian, S. (2006). Multi model combination techniques for analysis of hydrological simulations: Application to distributed model inter comparison project results. *Journal of Hydrometeorology*, 7(4), 755-768.
- Ajami, N. K., Duan, Q., and Sorooshian, S. (2007). An integrated hydrologic Bayesian multi model combination framework: Confronting input, parameter, and model structural uncertainty in hydrologic prediction. *Water Resources Research*, 43(1).
- Brooks, R. H. and Corey, A. T. (1964). Hydraulic properties of porous media, Hydrol. Paper No. 3, *Colorado State Univ, Fort Collins, CO*.
- Cote, C. M., Bristow, K. L., Charlesworth, P. B., Cook, F. J., and Thorburn, P. J. (2003). Analysis of soil wetting and solute transport in subsurface trickle irrigation. *Irrigation Sciences*, 22, 143–156.
- Durner, W. (1994). Hydraulic conductivity estimation for soils with heterogeneous pore structure, *Water Resour. Res.*, 32(9), 211-223.
- Eitzinger, J., Trnka, M., Hosch, J., Zalud, Z., and Dubrovsky, M. (2004). Comparison of CERES, WOFOST and SWAP models in simulating soil water content during growing season under different soil conditions. *Ecol. Modell.*, 171, 223-246.
- El-nesr, M., Alazba, A., and Simunek, J. (2014). HYDRUS simulations of the effects of dual-drip subsurface irrigation and a physical barrier on water movement and solute transport in soils. *Irrigation Science*, 32(2), 111–125.
- Forkutsa, I., Sommer, R., Shirokova, Y. I., Lamers, J. P. A., Kienzler, K., Tischbein, B., Martius, C., and Vlek, P. L. G. (2009). Modeling irrigated cotton with shallow groundwater in the Aral Sea Basin of Uzbekistan: II. Soil salinity dynamics *Irrigation Sciences*, 27, 319-330.
- Hemri, S. (2012). Calibrating multi-model runo predictions for a head catchment using Bayesian model averaging. Master thesis, Swiss Federal Institute of Technology Zurich.
- Kandelous, M. M., and Simunek, J. (2010). Numerical simulations of water movement in a subsurface drip irrigation system under field and laboratory conditions using HYDRUS-2D. *Agricultural Water Management*, 97, 1070-1076.
- Khanjani, S., and Dalir hasannia, R. (2014). Investigation of the development of moisture front in drip irrigation under linear source in dual layer soil. *Journal of Water Research in Agriculture*, 28(2), 419-429.
- Khanmohammadi, N., Rezaie, H., Besharat, S., and Behmanesh, J. (2012). Evaluation of Soil Water Profile Simulations in Drip Irrigation Based on Soil Hydraulic Properties and Experimental Observation. *Iranian Journal of Irrigation and drainage*, 3(6), 187-195. (In Farsi)
- Khorami, M., Mojtaba, SH. A., Alizadeh, A., and Ansari, H. (2013). Evaluation of different methods to estimate the soil wetting pattern in a loamy soil under drip irrigation. *Iranian Journal of Irrigation and drainage*, 3(7), 402-411. (In Farsi)
- Kosugi, K. (1996). Lognormal distribution model for unsaturated soil hydraulic properties, *Water Resour. Res.*, 32(9), 2697-2703.
- Moriasi, D. N., Arnold, J. G., Van Liew, M. W., Bingner, R. L., Harmel, R. D., and Veith, T. L. (2007). Model evaluation guidelines for systematic quantification of accuracy in watershed simulations. *Transactions of the ASABE: American Society of Agricultural and Biological Engineers*, 50(3), 885-900.
- Mualem, Y. (1976). A new model for predicting the hydraulic conductivity of unsaturated porous media, *Water Resour. Res.*, 12(3), 513-522.
- Nagavi, H., Hoseini nia, M., Karimi, SH., and Irandoost, M. (2012). The ability of HYDRUS-2D model in the simulation moisture distribution in soil under subsurface drip irrigation system. *Journal of Science and Technology of Agriculture and Natural Resources, Water and Soil Sciences*, 16(61), 59-68. (In Farsi)
- Pouryazdankhah, H. and Khaledian, M. R. (2013). Improving Model Efficiency of HYDRUS-2D by Considering Temporal Variability in Soil Hydraulic Properties. *Journal of Water and Soil*, 26(6), 1440-1449. (In Farsi)
- Schaap, M. G., Leij, F. J., and van Genuchten, M. Th. (2001). ROSETTA: a computer program for estimating soil hydraulic properties with hierarchical pedo transfer functions. *J. Hydrol.*, 251, 163–176.
- Simunek, J., van Genuchten, M. Th., Gribb, M. M., and Hopmans, J. W. (1998). Parameter estimation of unsaturated soil hydraulic properties from transient flow processes. *Soil and Tillage Research*, 47/1-2, Special issue "State of the art in soil physics and in soil technology of aridic soils", 27-36.
- Simunek, J., Sejna, M., and van Genuchten, M. Th. (1999). The HYDRUS-2D software package for simulating two dimensional movement of water, heat and multiple solutes in variably saturated media, Version 2.0. Rep. IGCWMC-TPS-53, p 251, Intl. Ground Water Modeling Center, Colo. School of Mines, Golden, CO.
- Simunek, J., van Genuchten, M. Th., and Sejna, M. (2006). The HYDRUS Software Package for Simulating Two- and Three-Dimensional Movement of Water, Heat, and Multiple Solutes in Variably- Saturated Media. *Technical Manual*, Version 1.0, PC Progress, Prague, Czech

- Republic, pp. 241.
- Simunek, J., van Genuchten, M. Th., and Sejna, M. (2008). Development and applications of the HYDRUS and STANMOD software packages, and related codes. *Vadose Zone J*, Special Issue "Vadose Zone Modeling", (in press).
- Singh, A. K., Tripathy, R., and Chopra, U. K. (2008). Evaluation of CERES-Wheat and CropSyst models for water Nitrogen interactions in wheat crop. *Agricultural Water Management*, 95, 776–786.
- Skaggs, T. H., T.J. Trout, T. J., Simunek, J., and Shouse, P. J. (2004). Comparison of HYDRUS-2D simulation of drip irrigation with experimental observations. *J. Irrig. Drain. Eng.*, 4, 304-310.
- Tafteh, A., Sepaskhah, A. R. (2012). Yield and nitrogen leaching in maize field under different nitrogen application rates and partial root drying irrigation. *International Journal of Plant Production*, 6 (1), 93–114.
- Van Genuchten, M. Th. (1980). A closed-form equation for predicting the hydraulic conductivity of unsaturated soils. *Soil Sci. Soc. Am. J*, 44, 892–898.
- Vogel, T. and Cislerova, M. (1988). On the reliability of unsaturated hydraulic conductivity calculated from the moisture retention curve. *Transport in Porous Media*, 3, 1-15.
- Vrugt, J. A., Hopmans, J. W., and Simunek, J. (2001). Calibration of a two-dimensional root water uptake model. *Soil Sc. Soc. Am. J*, 65, 1027–1037.
- Wang, D., Yates, S. R., Simunek, J., and van Genuchten, M. Th. (1997). Solute transport in simulated conductivity fields under different irrigations. *J. Irrig. Drain. Eng*, 123(5), 336-343.
- Xie, T., Liu, X., and Sun, T. (2011). The Effects of Groundwater Table and Flood Irrigation Strategies on Soil Water and Salt Dynamics and Reed Water Use in the Yellow River Delta, China. *Ecological Modeling*, 222, 241-252.